

## 用中子衍射方法分析 $\text{Y}_2\text{Fe}_{17-x}\text{Si}_x$ ( $X = 2$ ) 的结构

陈东风 丁永凡

(中国原子能科学研究院核物理所, 北京, 102413)

在研究稀土永磁性材料  $\text{Y}_2\text{Fe}_{17-x}\text{Si}_x$  ( $X = 2$ ) 的磁性时, 发现用 Si 取代 Fe 后, 对提高  $T_c$  的效果很明显。中子衍射证明: Si 择优占据 4f 晶位(哑铃位置), 且 Fe 的磁矩平行于  $b$  轴。

关键词 中子衍射 磁结构

稀土永磁性材料磁性能优异, 在航天、航空、仪器、仪表方面具有重要的应用价值, 但其磁性能仍然不能满足尖端技术日益增长的需要, 尚有待于进一步的开发, 而研究其结构和磁性能的关系具有重要的理论与实际的意义。在研究  $\text{Y}_2\text{Fe}_{15}\text{Si}_2$  的磁结构时, 发现用 Si 取代 Fe 对提高居里温度  $T_c$  的效果很明显<sup>[1,2]</sup>。Cubbens 等<sup>[3]</sup>对 Mössbauer 谱的分析得到, Si 是无规则分布, 没有优先占位。这与通常认为  $\text{R}_2\text{Fe}_{17}$  的居里点低是由于存在哑铃对 Fe 原子的观点相矛盾。为了进一步了解这个性质, 本实验用中子衍射方法测定了 Si 的占位和样品的磁结构。

### 1 实验和结果

将配制好的原料放入真空电弧炉中熔炼而得到块状样品, 再将其研磨成粉状小颗粒。经 X 射线衍射相分析, 证明样品是单相的  $\text{Th}_2\text{Ni}_{17}$  型结构。然后, 放入钒制样品盒中进行中子衍射测量。测量是在中国原子能科学研究院二轴中子衍射仪上进行的。中子波长  $1.184 \times 10^{-10}$  m, 探测器从  $8^\circ$  ~  $96^\circ$  以步进  $0.2^\circ$  采用定计数方式收集衍射数据, 在室温( $20^\circ\text{C}$ )下, 时间约为 43h。图 1 是所测得的  $\text{Y}_2\text{Fe}_{15}\text{Si}_2$  的中子衍射曲线。

### 2 讨论

中子衍射数据的处理是用国际通用的衍射峰形状分析法(Profile)<sup>[4]</sup> 进行的。假定该结构为

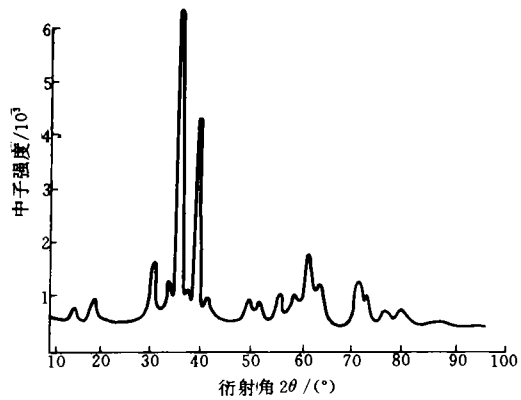


图 1  $\text{Y}_2\text{Fe}_{15}\text{Si}_2$  的衍射图  
Fig. 1 Neutron diffraction pattern for  $\text{Y}_2\text{Fe}_{15}\text{Si}_2$

$Th_2Ni_{17}$ 型, Y 占 2b、2d 晶位, 作为初始结构参数进行数据处理, 经过多次拟合, 得到结果列于表1。表1中  $x$ 、 $y$ 、 $z$  为坐标参数,  $N$  为原子数目,  $K_y$  为  $y$  轴方向的磁矩值,  $\mu_B$  为玻尔磁子,  $R_N$  和  $R_M$  为核和磁衍射强度一致性因子,  $R$  为总的一致性因子,  $\chi^2$  为残差值。由表1可见, Si 原子进入 6g 晶位较少, 而择优占据 4f(即哑铃)晶位, Fe 的磁矩平行于 b 轴。这些结果与 Mössbauer 的结果<sup>[3]</sup>不一致, 但 Si 的择优进入 4f 晶位, 使 Fe 的负磁交换作用减弱, 相对增强了正的交换作用, 从而使  $T_c$  得到提高, 这是完全合理的。

实验中得到了杨继廉和张百生副研究员的指导, 北京大学林勤副教授提供实验样品, 特此致谢。

表 1  $Y_2Fe_{15}Si_2$  的结构参数Table 1 Structure parameters for  $Y_2Fe_{15}Si_2$ 

| 原子 | 位置  | $x$     | $y$      | $z$      | $N$     | $K_y/\mu_B$ |
|----|-----|---------|----------|----------|---------|-------------|
| Y  | 2b  | 0.00090 | 0.00000  | 0.25000  | 2.00000 | 0.00000     |
| Y  | 2d  | 0.33333 | 0.66666  | 0.75000  | 2.00000 | 0.00000     |
| Fe | 4f  | 0.33333 | 0.66666  | 0.11255  | 2.902   | 2.189       |
| Si | 4f  | 0.33333 | 0.66666  | 0.11255  | 1.098   | 0.00000     |
| Fe | 6g  | 0.50000 | 0.00000  | 0.00000  | 5.768   | 2.869       |
| Si | 6g  | 0.50000 | 0.00000  | 0.00000  | 0.232   | 0.00000     |
| Fe | 12K | 0.16666 | 0.33333  | -0.01028 | 10.656  | 1.845       |
| Si | 12K | 0.16666 | 0.33333  | -0.01028 | 1.344   | 0.00000     |
| Fe | 12j | 0.33235 | -0.02807 | 0.25000  | 10.674  | 2.469       |
| Si | 12j | 0.33235 | -0.02807 | 0.25000  | 1.326   | 0.00000     |

空间群 63/mmc,  $a = 8.4939 \times 10^{-10}$ m,  $C = 8.3595 \times 10^{-10}$ m;

$R = 2.55\%$ ,  $R_N = 2.45\%$ ,  $R_M = 4.92\%$ ,  $\chi^2 = 1.933$ 。

## 参 考 文 献

- Pedziwiatr AT, Wallace WE, Burzo E, et al. Magnetic Properties of  $Y_2Fe_{14-x}M_xB$  Compounds Where  $M = Si$  or Cu. Solid State Commun, 1987, 61:61.
- Abache C, Oesterreicher H. Structural and Magnetic Properties of  $R_2Fe_{14-x}T_xB$  ( $R = Nd, Y$ ;  $T = Cr, Mn, Co, Ni, Al$ ). J Appl Phys, 1986 60:1114.
- Cubbens PCM, Van der Kraan AM, Jacobos TH, et al.  $^{57}Fe$  and  $^{169}Tm$  Mössbauer Effect and Magnetic Properties of  $Tm_2Fe_{15}M_2$  ( $M = Al, Ca, Si$ ). J Less-common Metal, 1990, 159:173.
- Rietveld HM. A Profile Refinement Method for Nuclear and Magnetic Structure. J Appl Cryst, 1969, 2:65.

## NEUTRON DIFFRACTION STUDY OF $\text{Y}_2\text{Fe}_{17-x}\text{Si}_x$ ( $X = 2$ )

CHEN DONGFENG DING YONGFAN

(*China Institute of Atomic Energy, P. O. Box 275(30), Beijing, 102413*)

### ABSTRACT

Crystallographic and magnetic properties of  $\text{Y}_2\text{Fe}_{17-x}\text{Si}_x$  ( $X = 2$ ) are investigated. The substitution of Si for Fe enhances the curie temperature remarkably. Neutron diffraction study on  $\text{Y}_2\text{Fe}_{15}\text{Si}_2$  indicates that there is preferential occupation of Si atoms into the dumbbell Fe site in the structure, and the magnetic moment of Fe is parallel to the b axis.

**Key words** Neutron diffraction Magnetic structure